

بررسی واکنش‌های فصل مشترک بین پودر هیدرید تیتانیم (TiH_2) و مذاب آلومینیم خالص*

علی رسولی^(۱) مهدی دیوانداری^(۲) حمیدرضا شاهوردی^(۳) سید محمد علی بوتراپی^(۴)

چکیده

در اسفنج‌های آلومینیمی، حباب‌ها در نتیجه‌ی تجزیه‌ی پودر هیدرید تیتانیم (TiH_2) در تماس با مذاب آلومینیم تولید می‌شوند. بنابراین، بررسی این واکنش‌ها نقش مهمی در تعیین سازوکار تجزیه‌ی هیدرید تیتانیم در مذاب آلومینیم دارد. در این تحقیق، پودر هیدرید تیتانیم در بازه‌های دمایی مختلف (الف): $700-750^\circ C$ ، (ب): $750-800^\circ C$ ، (ج): $800-1000^\circ C$ ، در تماس با مذاب آلومینیم قرار داده شد. پس از انجماد مذاب، از جامد ایجاد شده تصویرهای SEM تهیه شد، و بر روی آن‌ها تحلیل EDAX انجام شد. نتایج نشان دادند که هنگام تماس پودر هیدرید تیتانیم با مذاب، لایه‌ی نازکی از $TiAl_3$ در اطراف ذرات پودر ایجاد می‌شود. در بازه‌ی دمایی (الف)، لایه‌ی $TiAl_3$ تشکیل شده تقریباً پیوسته بود و در نتیجه، فرایند تجزیه با نفوذ درونی (نفوذ اتم‌ها درون لایه‌ی $TiAl_3$) کنترل می‌شد. در بازه‌ی دمایی (ب)، لایه‌ی $TiAl_3$ از پیوستگی کافی برخوردار نبود و ضخامت کلی آن نسبت به بازه‌ی دمایی قبلی بیش‌تر بود. در این حالت، پودر حالت نیمه متلاشی شده به خود گرفت. بنابراین، فرایند تجزیه توسط نفوذ درونی و واکنش شیمیایی (واکنش بین مذاب و پودر هیدرید تیتانیم) کنترل می‌شد. در بازه‌ی دمایی (ج)، لایه‌ی $TiAl_3$ تشکیل شده در اطراف ذرات پودر متلاشی و درون مذاب پراکنده شد. به این ترتیب، فرایند تجزیه در این حالت با واکنش شیمیایی کنترل می‌شد. با افزایش دمای مذاب، میزان ذرات پودر باقی‌مانده کاهش یافت. به دلیل کاهش ضخامت لایه‌ی $TiAl_3$ تشکیل شده در اطراف ذرات پودر و ناپیوستگی آن، سرعت فرایند تجزیه با افزایش دمای مذاب افزایش یافت.

واژه‌های کلیدی هیدرید تیتانیم، مذاب آلومینیم، کنترل شیمیایی، کنترل نفوذ درونی، واکنش‌های فصل مشترک.

Study of the Interface Reactions between Titanium Hydride Powder (TiH_2) and Pure Aluminum Melt

A. Rasooli M. Divandari H. R. Shahverdi M. A. Boutorabi

Abstract

In aluminum foams, bubbles are formed as a result of the decomposition of TiH_2 powder in contact with the molten aluminum. Hence, the study of these reactions has an important effect in determining the mechanism of decomposition of TiH_2 inside the molten aluminum. In this research, TiH_2 powder was put in contact with the molten aluminum at various temperature ranges, i.e. a) $700-750^\circ C$, b) $750-800^\circ C$ and c) $800-1000^\circ C$. After solidification of the melt, the solidified samples were taken for the SEM and EDAX examinations. The results showed that as soon as the TiH_2 particles touch the melt, a thin layer of $TiAl_3$ is formed around the particles. At the temperature range of (a), the $TiAl_3$ layer formed was almost continuous, hence, the decomposition process was controlled by internal diffusion (diffusion of atoms within the $TiAl_3$ layer). At the temperature range of (b); the $TiAl_3$ layer had no sufficient continuity and its overall thickness was greater than that for the range (a). In this case, the powder particles had a semi-collapse shape. Consequently, the decomposition process was under the control of both the internal diffusion and the chemical reaction (reaction between the TiH_2 powder and the melt). At the temperature range of (c), the $TiAl_3$ layer formed around the TiH_2 particles was shattered and finally dispersed within the melt. Therefore, the decomposition process in this case was controlled by the chemical reaction. The amount of remaining powder particles decreased with an increase in the melt temperature. The rate of decomposition process increased with increasing the melt temperature, due to the decrease of the thickness of $TiAl_3$ layer formed around the particles, as well as its non-continuous character.

Key Words Titanium Hydride, Aluminum Melt, Chemical Control, Internal Diffusion Control, Interface Reactions.

* نسخه نخست مقاله در تاریخ ۸۷/۱۲/۱۷ و نسخه پایانی آن در تاریخ ۸۹/۲/۲۳ به دفتر نشریه رسیده است.

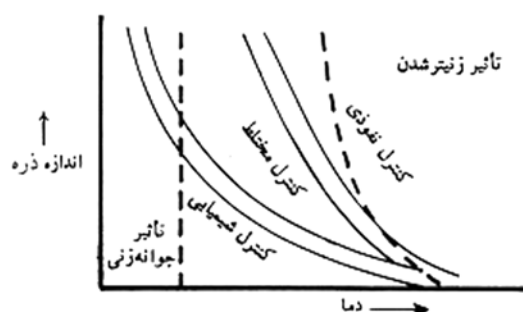
(۱) عهده‌دار مکاتبات: دانشجوی دکتری مهندسی مواد، دانشگاه علم و صنعت ایران

(۲) دانشیار، دانشکده مهندسی مواد و متالورژی، دانشگاه علم و صنعت ایران

(۳) استادیار، دانشکده فنی و مهندسی، دانشگاه تربیت مدرس

(۴) استاد، دانشکده مهندسی مواد و متالورژی، دانشگاه علم و صنعت ایران

هیدرید تیتانیم است [11,19]، و این بر پیچیده بودن سازوکار تجزیه‌ی هیدرید تیتانیم در مذاب دلالت دارد. می‌توان گفت که واکنش‌ها در فصل مشترک پودر و مذاب یکی از عوامل مهم برای تشریح شرایط حباب‌زایی هیدرید تیتانیم در مذاب آلومینیم بوده و می‌توان با بررسی آن، سازوکار دقیق‌تری از فرایند تجزیه‌ی هیدرید تیتانیم در مذاب ارائه داد. در این تحقیق، افزون بر واکنش‌ها در فصل مشترک پودر هیدرید تیتانیم و مذاب آلومینیم خالص، تأثیر تغییر دمای مذاب بر آن‌ها نیز بررسی می‌شود.



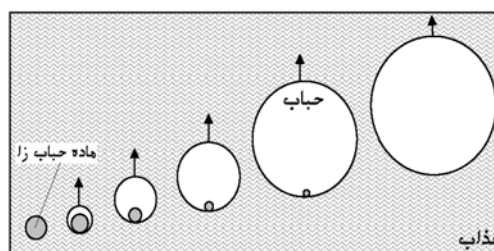
شکل ۲ نمایش تأثیر دما و اندازه‌ی ذرات بر سازوکار انجام واکنش [۱۰].

روش آزمایش

با بررسی‌های اولیه‌ی پودر هیدرید تیتانیم (Merck) با درجه‌ی خلوص بالاتر از ۹۸٪، ترکیب شیمیایی بر اساس الگوی XRD و کارت شماره‌ی ۹۸۳-۲۵ معادل با TiH_{1.924} تعیین شد، و پس از بررسی آماری توزیع اندازه‌ی ذرات آن، اندازه‌ی متوسط تقریبی ۸ تا ۱۰ میکرون با حداکثر فراوانی ۸۵ درصد برای آن به دست آمد. در تهیه‌ی مذاب، از شمش آلومینیم با خلوص تجاری (۹۹/۹٪) و کوره‌ی مقاوم‌تی استفاده شد. برای بررسی وقوع واکنش مذاب در تماس با پودر، لوله‌ای به همراه غلافی از فولاد زنگ نزن نوع ۳۰۴، مطابق با تصویر شکل (۳-الف)، طراحی و ساخته شد. برای کسب اطمینان از پایان واکنش و عدم تماس مجدد مذاب با محیط، انتهای باز لوله‌ی فولادی به حس‌گر فشار نوع BD (ساخت کشور آلمان) متصل شد.

مقدمه

واکنش پودر هیدرید تیتانیم با مذاب آلومینیم، عامل اصلی تولید حباب در اسفنج‌های آلومینیمی است [8-1]. در هنگام ورود پودر هیدرید تیتانیم به درون مذاب، ذرات پودر به وسیله‌ی مذاب احاطه می‌شوند (شکل ۱) [۹]. به دلیل بالاتر بودن دمای مذاب نسبت به دمای تجزیه‌ی هیدرید تیتانیم (۴۰۰ °C)، با تماس پودر با مذاب انرژی محرکه‌ی لازم برای تجزیه آن تأمین شده و جوانه‌ی اولیه‌ی حباب در اطراف پودر تشکیل می‌شود. تا هنگامی که ارتباط پودر با مذاب به‌طور کامل قطع نشده است، حباب درون مذاب و در اطراف ذره‌ی هیدرید تیتانیم رشد کرده و به سمت بالا حرکت می‌کند [۹].



شکل ۱ شمایی از مراحل تولید حباب در مذاب با استفاده از ماده‌ی حباب‌زا [۹]

دو عامل دما و اندازه‌ی ذرات پودر (سطح ویژه‌ی آن) بر سازوکار واکنش مؤثرند (شکل ۲). همان‌گونه که در شکل (۲) مشاهده می‌شود، سازوکار واکنش با افزایش دما از کنترل شیمیایی به کنترل نفوذی به دلیل افزایش سرعت واکنش، تغییر می‌کند [۱۰]. در صورتی که اندازه‌ی ذرات کوچک باشد، اثر واکنش شیمیایی با افزایش دما جدی‌تر می‌شود.

اگرچه محققین گزارش‌های مختلفی پیرامون تجزیه‌ی هیدرید تیتانیم ارائه کرده‌اند [11,21]، اما گزارش زیادی در مورد سازوکار تجزیه‌ی آن در مذاب با قابلیت شرح کامل شرایط و چگونگی وقوع فرایند تجزیه وجود ندارد [22]. به هر حال، گزارش‌های محققین مختلف حاکی از تغییر سرعت تجزیه‌ی پودر

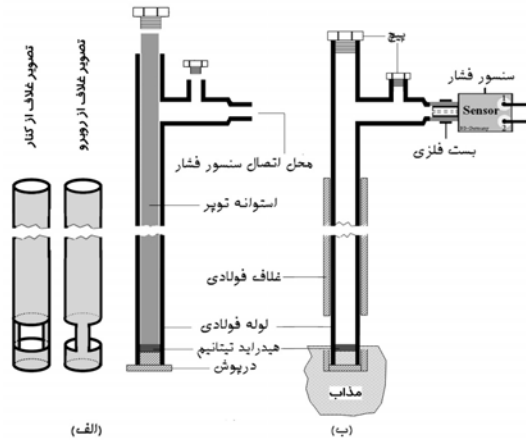
نتایج

در شکل (۴)، تصویرهای میکروسکپ الکترونی روبشی برگشتی مربوط به بازه‌های دمایی مختلف (الف): $700 - 750^{\circ}\text{C}$ ، (ب): $750 - 800^{\circ}\text{C}$ و (ج): $800 - 1000^{\circ}\text{C}$ نشان داده شده‌اند. شکل (۵) نیز نتایج تحلیل EDAX مربوط به نقطه‌های A، B و C در تصویرهای میکروسکپ الکترونی روبشی برگشتی در بازه‌های دمایی فوق را نشان می‌دهد. در شکل (۶)، الگوهای XRD مربوط به مذاب منجمد شده در تماس با پودر هیدرید تیتانیم در بازه‌های دمایی فوق‌الذکر، نمایش داده شده‌اند.

تحلیل نتایج

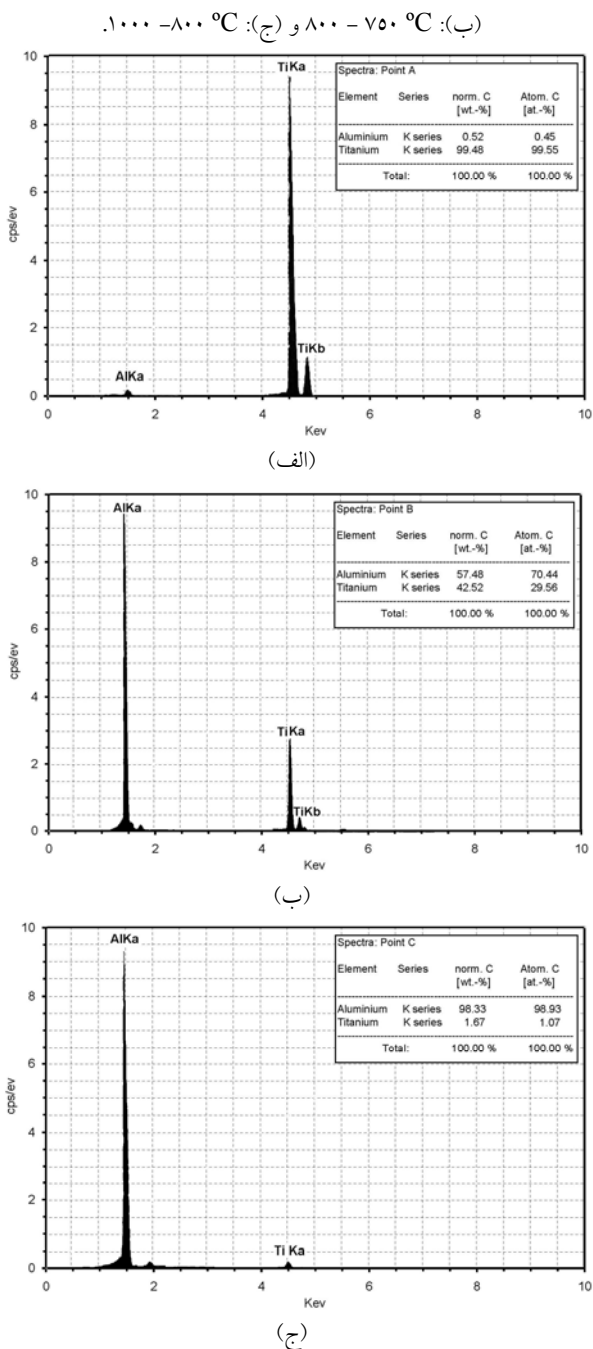
همان‌گونه که در شکل (۴) مشاهده می‌شود، A، B و C منطقه‌هایی هستند که در هر سه شرایط دمایی فوق‌الذکر مورد مطالعه قرار گرفته‌اند. تحلیل EDAX مربوط به این منطقه‌ها در بازه‌های دمایی مختلف نشان داد که آن‌ها دارای ترکیب شیمیایی تقریباً یکسانی هستند. با توجه به نتایج حاصل از تحلیل EDAX نمونه‌ها و در بازه‌های دمایی مختلف در شکل (۵)، «Ti» به‌عنوان ترکیب شیمیایی در منطقه‌ی A، «TiAl₃» ترکیب شیمیایی در منطقه‌ی B، و «Al» برای ترکیب شیمیایی در منطقه‌ی C تشخیص داده شد. با توجه به گزارش‌های ارائه شده توسط سایر محققین [6,16,24-25] و نیز، شرایط آزمون و عدم وجود هیدروژن در تحلیل EDAX، هیدرید تیتانیم به‌عنوان ترکیب شیمیایی در منطقه‌ی A در نظر گرفته شد.

در بررسی تصویرهای BSE در بازه‌ی دمایی $700 - 750^{\circ}\text{C}$ و در دماهای نزدیک به 700°C کانال‌هایی رو به بالا به سمت دیواره‌ی لوله مشاهده شدند که نقطه‌ی آغاز آن‌ها بیش‌تر در محل‌های حضور پودر درون مذاب بود (تصویر شکل (الف-۴)). افزون بر این، در بررسی تصویرهای BSE در دماهای بالاتر از 800°C ، حفره‌های بسیاری در اطراف منطقه‌های B (با



شکل ۳ (الف) لوله، درپوش و پیچ‌ها، تصویرهای غلاف فولادی از روبرو و پهلو، و (ب) لوله و غلاف در کنار هم درون مذاب

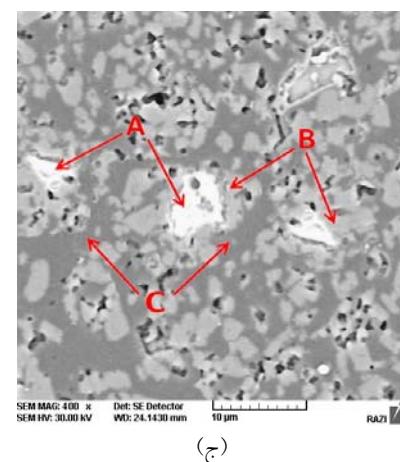
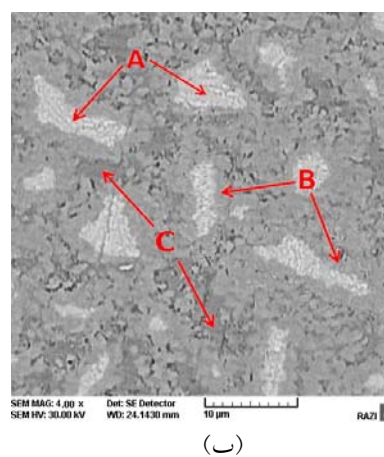
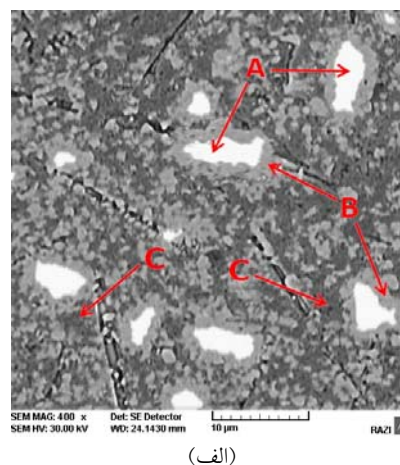
ابتدا درپوش در انتهای لوله، مطابق با تصویر شکل (۳-الف)، محکم می‌شود. سپس پودر هیدرید تیتانیم به میزان $1/8$ گرم از بالا درون لوله ریخته شده و به وسیله یک میله‌ی توپر کوبیده می‌شود. پس از خروج میله، پیچ‌ها و حس‌گر فشار، مطابق با تصویر شکل (۳-ب)، بسته می‌شوند. پس از آن، درپوش به‌آرامی از انتهای لوله جدا می‌شود تا به این ترتیب، پودر از درون لوله خارج نشود. در مرحله‌ی بعد، غلاف فولادی وارد مذاب شده و پس از مدتی، لوله‌ی فولادی حاوی پودر هیدرید تیتانیم به کمک غلاف درون مذاب آلومینیم وارد می‌شود. پس از ثابت شدن فشار گاز آزاد شده، لوله به‌همراه غلاف از مذاب خارج می‌شود تا به این وسیله مذابی که با پودر واکنش کرده است، منجمد شود. در انتهای این مراحل، از سطح مقطع افقی مذاب منجمد شده در انتهای لوله‌ی فولادی، تصویرهای میکروسکپی BSE تهیه شد. افزون بر این، بررسی EDAX نمونه‌ها در محل‌های مختلف آن‌ها انجام شد و در انتها، برای بررسی فازها و ترکیبات موجود در نمونه‌ها از تحلیل XRD در بازه‌های دمایی مختلف (الف): $700 - 750^{\circ}\text{C}$ ، (ب): $750 - 800^{\circ}\text{C}$ و (ج): $800 - 1000^{\circ}\text{C}$ استفاده شد.



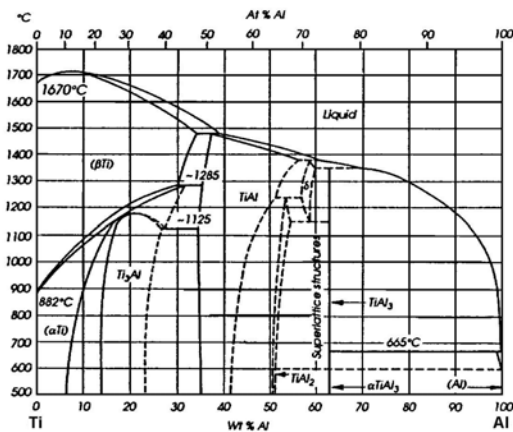
شکل ۵ نتایج تحلیل EDAX در بازه‌های دمایی مختلف؛ (الف) در منطقه A، (ب) TiAl_3 در منطقه B، و (ج) Al در منطقه C

با بررسی الگوی XRD مربوط به نمونه‌ها و به کمک نرم افزار PCPDFWIN، ترکیب‌ها و فازهای مختلف به این شکل تشخیص داده شدند: پیک‌های مربوط به آلومینیم مطابق با کارت شماره ۰۷۸۷-۰۴،

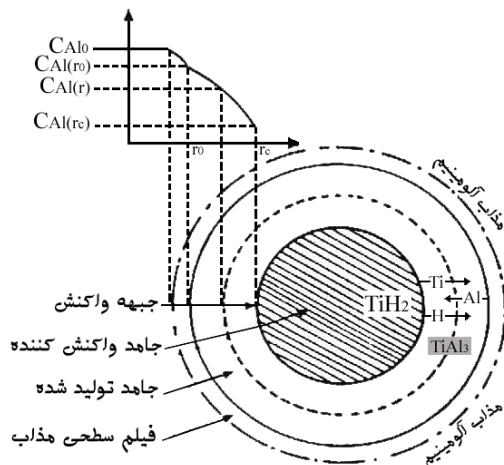
ترکیب TiAl_3 مشاهده شد (تصویر شکل (ج-۴)). به نظر می‌رسد که حضور این حفره‌ها به دلیل تولید گاز ناشی از تجزیه‌ی حرارتی پودر هیدراید تیتانیم و یا، کاهش حلالیت گاز هیدروژن در مذاب حین انجماد باشد.



شکل ۴ تصویرهای میکروسکپ الکترونی برگشتی مربوط به مذاب منجمد شده در بازه‌های دمایی (الف): $700 - 750^{\circ}\text{C}$ ،



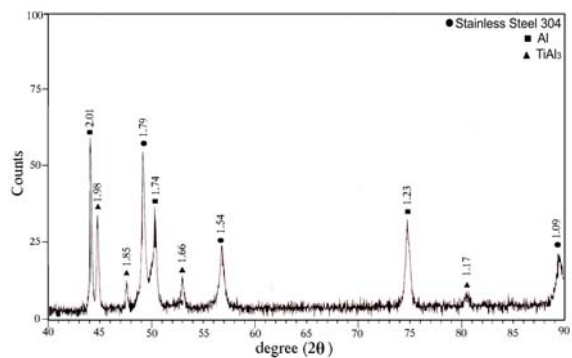
شکل ۷ نمودار فازی تعادلی Ti-Al [۲۳].



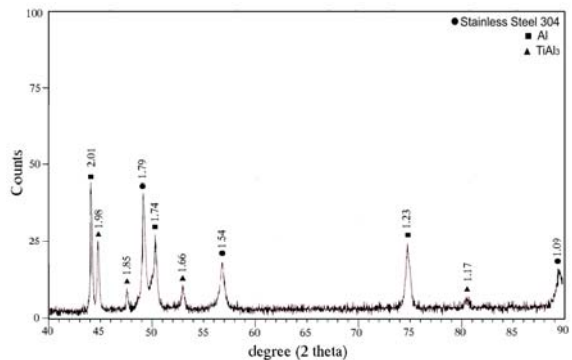
شکل ۸ مدل هسته‌ای در حال انقباض برای یک ذره [۳۲].

مطابق با نمودار فازی تعادلی Al-Ti در شکل (۷)، اگر میزان تیتانیوم در دماهای بالاتر از 665°C بیش از 0.15% درصد وزنی باشد، ترکیب TiAl_3 تشکیل می‌شود [23]. بنابراین، لایه‌ای از TiAl_3 در اطراف پودر حین انجام واکنش بین هیدرید تیتانیوم و مذاب آلومینیم ایجاد می‌شود. در واکنش‌های فصل مشترک هنگام وقوع فرایند تجزیه‌ی پودر در تماس با مذاب آلومینیم، چهار پدیده از اهمیت ویژه‌ای برخوردارند: (۱) انتقال جرم در مذاب، (۲) نفوذ درون لایه‌ی تشکیل شده، (۳)

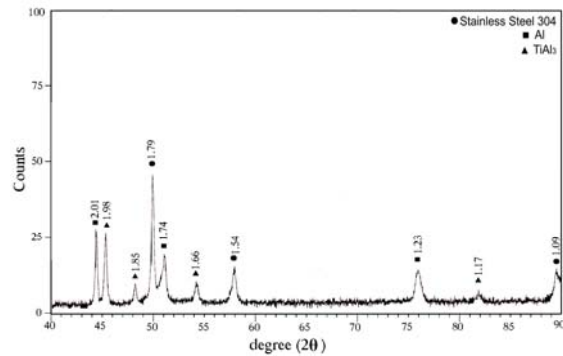
پیک‌های مربوط به ترکیب TiAl_3 مطابق با کارت شماره‌ی ۲۶-۰۰۳۹، و پیک‌های مربوط به فولاد زنگ‌نزن 304 ($\text{Cr}_{0.19}\text{Fe}_{0.7}\text{Ni}_{0.11}$) مطابق با کارت شماره‌ی ۳۳-۰۳۹۷. ظهور پیک‌های مربوط به فولاد زنگ‌نزن 304 ، به دلیل استفاده از لوله و غلاف از جنس فولاد زنگ نزن نوع ۳۰۴ در آزمون‌ها بوده است.



(الف)



(ب)



(ج)

شکل ۶ الگوهای XRD مربوط به مذاب منجمد شده در تماس با پودر هیدرید تیتانیوم در بازه‌های دمایی (الف): 700°C - 750°C ، (ب): 750°C - 800°C و (ج): 800°C - 1000°C .

عامل نفوذ خارجی سریع بوده و نمی‌تواند کنترل کننده‌ی سرعت فرایند باشد. این موضوع به‌خصوص در مورد تولید اسفنج‌های آلومینیمی به‌روش آلپوراس (Alporas)، [3]، صدق می‌کند. از آن‌جا که مذاب بلافاصله پس از ورود پودر هیدرید تیتانیم به سرعت هم زده می‌شود، ضخامت لایه‌ی سطحی مذاب بسیار ناچیز خواهد بود.

واکنش زیر با برقراری تماس بین پودر و مذاب انجام شده و لایه‌ی نازکی از $TiAl_3$ در اطراف پودر تشکیل می‌شود:



ادامه‌ی وقوع این واکنش، به نفوذ اتم‌های واکنش کننده درون لایه‌ی $TiAl_3$ بستگی دارد. در ابتدای واکنش، نفوذ در این لایه به‌دلیل نازک بودن آن تقریباً سریع است، یعنی عامل نفوذ درونی سریع بوده و در نتیجه، عامل اصلی کنترل کننده‌ی سرعت فرایند واکنش شیمیایی خواهد بود. در ادامه و با افزایش ضخامت لایه‌ی $TiAl_3$ ، نفوذ اتم‌های واکنش کننده در لایه کاهش پیدا کرده و در نتیجه، نفوذ درونی عامل اصلی کنترل کننده‌ی سرعت فرایند تجزیه خواهد بود. در انتها و با افزایش بیش‌تر ضخامت لایه‌ی $TiAl_3$ ، نفوذ درونی کاهش یافته و سرعت از نقطه نظر سینتیکی صفر می‌شود.

با خروج غلاف و لوله از درون مذاب، مذاب درون لوله شروع به انجماد می‌کند. به نظر می‌رسد که تا زمانی که دمای لوله و غلاف از دمای تجزیه‌ی هیدرید تیتانیم ($400^\circ C$) بالاتر باشد، تجزیه‌ی حرارتی پودر ادامه می‌یابد و در دماهای نزدیک به $700^\circ C$ ، به‌صورت کانال‌هایی از منطقه‌های B (ترکیب $TiAl_3$) به‌سمت دیواره‌های لوله و سطح مذاب در تصویرهای میکروسکپ الکترونی ظاهر می‌شود (تصویر شکل 4-الف). اما در دماهای بالاتر از $800^\circ C$ و به‌دلیل متلاشی شدن ذرات پودر در مذاب، گاز ایجاد شده هنگام تجزیه‌ی حرارتی پودر به‌صورت حفره‌های کوچک در اطراف ذرات $TiAl_3$ (منطقه‌های B پراکنده در مذاب) در تصویرهای میکروسکپی به‌وجود می‌آید (تصویر

جذب و دفع سطحی، و 4) واکنش شیمیایی [25-26]. بر اساس مدل هسته‌ی در حال انقباض (Shrinking-Core Model) [27]، و مطابق با آنچه در شکل (8) مشاهده می‌شود، سه عامل اصلی زیر مشابه با آنچه در واکنش‌های گاز-جامد رخ می‌دهد، در واکنش‌های فصل مشترک نقش مهمی دارند [28]:

الف) انتقال جرم در فاز مذاب آلومینیم.

ب) واکنش شیمیایی مواد واکنش کننده (Ti و Al).

ج) انتقال جرم درون محصولات واکنش (لایه‌ی $TiAl_3$ تشکیل شده در اطراف ذرات).

عامل اول به‌وسیله‌ی نفوذ اتم‌های آلومینیم و گاز هیدروژن درون لایه‌ی سطحی مذاب کنترل شده و به ضخامت آن بستگی دارد. این عامل وابسته به پدیده‌ی نفوذ خارجی (External Diffusion) است. عامل دوم به‌وسیله‌ی سینتیک شیمیایی واکنش بین پودر هیدرید تیتانیم و مذاب کنترل شده و به سازوکار حاکم بر آن بستگی دارد. این عامل به وقوع واکنش شیمیایی (Chemical Reaction) مربوط می‌شود. عامل سوم با نفوذ اتم‌های واکنش کننده درون لایه‌ی جامد تشکیل شده، برای رسیدن به جبهه‌ی واکنش، کنترل شده و به ضخامت لایه و نوع اتم‌های نفوذ کننده بستگی دارد. این عامل به پدیده‌ی نفوذ درونی (Internal Diffusion) وابسته است. به این ترتیب، سه عامل نفوذ خارجی، واکنش شیمیایی و نفوذ درونی، کنترل کننده‌ی سرعت واکنش هیدرید تیتانیم با مذاب بوده و نقش مهمی بر روی واکنش‌های فصل مشترک دارند.

به‌طور کلی می‌توان گفت که هنگام ورود لوله درون غلاف فولادی، پودر به‌وسیله‌ی مذاب احاطه می‌شود. ابتدا لایه‌ی سطحی مذاب در اطراف پودر به‌وجود می‌آید. ضخامت این لایه به قدرت ترشوندگی پودر با مذاب، دمای مذاب، هم زدن مذاب و مانند آن بستگی دارد. از آن‌جا که هنگام تماس پودر با مذاب، مقدار زیادی گاز هیدروژن آزاد می‌شود [3]، و از طرفی، پودر در سطح مذاب قرار دارد، گاز به سرعت از سطح مذاب دور می‌شود. بنابراین، لایه‌ی سطحی مذاب نازک بوده و می‌توان از آن صرف‌نظر کرد. به این ترتیب،

در این حالت، به نظر می‌رسد که ذرات پودر هیدرید تیتانیم حالت متخلخل یافته‌اند (تصویر شکل ۹، ب-۲). در ادامه‌ی واکنش، لایه‌ی $TiAl_3$ تشکیل شده در اطراف پودر شکل پیوسته‌ای نداشته و کانال‌هایی در آن تشکیل می‌شود (تصویر شکل ۹، ب-۲). در این حالت، سرعت با واکنش شیمیایی کنترل می‌شود. با تشکیل لایه‌ی پیوسته‌ای از $TiAl_3$ در فصل مشترک پودر هیدرید تیتانیم و لایه‌ی $TiAl_3$ (فصل مشترک $TiH_2/TiAl_3$) و نفوذ اتم‌ها درون لایه‌ی $TiAl_3$ ، سرعت با نفوذ درونی کنترل خواهد شد (تصویر شکل ۹، ب-۳). با افزایش ضخامت لایه‌ی پیوسته‌ی $TiAl_3$ در فصل مشترک $TiH_2/TiAl_3$ ، نفوذ اتم‌ها در لایه‌ی $TiAl_3$ بسیار کاهش یافته و شرایط به‌حالت تعادل سینتیکی می‌رسد (تصویر شکل ۴-ب).

حالت سوم: بازه‌ی دمایی $800-1000^\circ C$. در این شرایط و هنگام تماس پودر هیدرید تیتانیم با مذاب در دمای بالاتر از $800^\circ C$ ، ابتدا لایه‌ی نازکی از $TiAl_3$ شبیه به حالت‌های اول و دوم در اطراف ذرات پودر هیدرید تیتانیم تشکیل می‌شود (تصویر شکل ۹، ج-۱). سازوکار فرایند در این حالت با واکنش شیمیایی کنترل می‌شود. در ادامه و به دلیل سرعت بالای واکنش پودر با مذاب و تولید میزان زیادی گاز هیدروژن [۳، ۷ و ۱۵]، ابتدا کانال‌های زیادی در لایه‌ی $TiAl_3$ ایجاد می‌شود (تصویر شکل ۹، ج-۲) و در نتیجه‌ی آن، لایه‌ی $TiAl_3$ متلاشی شده و ذرات آن درون مذاب پراکنده می‌شوند (تصویر شکل ۹، ج-۳). در این حالت و شبیه به بازه‌ی دمایی $750-800^\circ C$ ، سرعت با واکنش شیمیایی کنترل می‌شود.

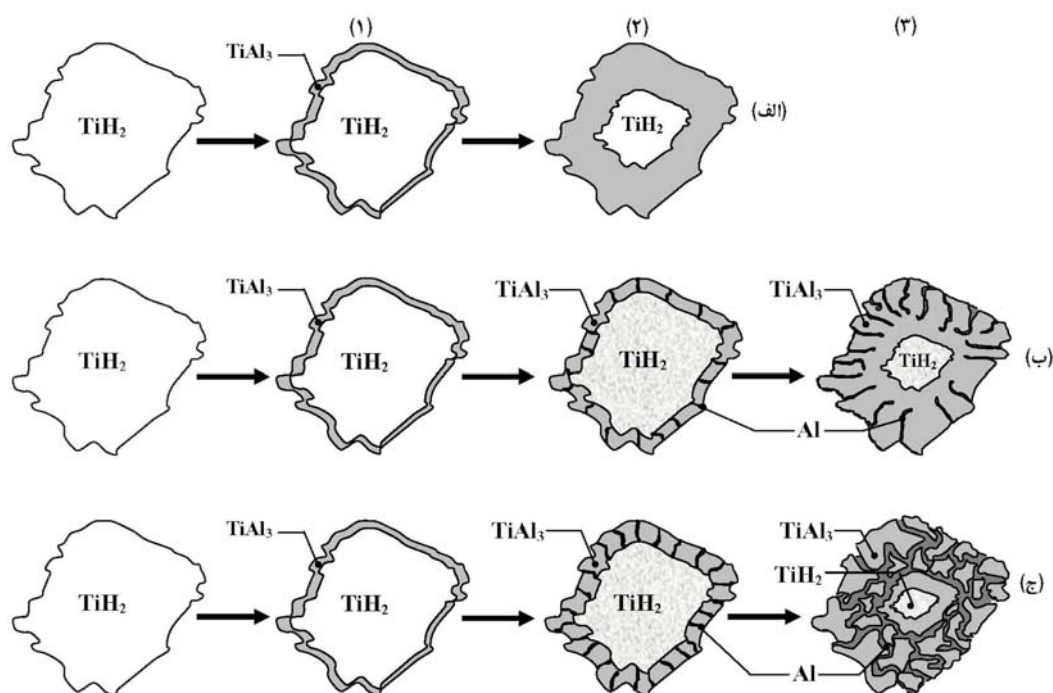
در ادامه‌ی واکنش و با تشکیل لایه‌ی پیوسته‌ی $TiAl_3$ در فصل مشترک $TiH_2/TiAl_3$ ، نفوذ درونی سرعت را کنترل می‌کند. (تصویر شکل ۹، ج-۳). در پایان، با افزایش ضخامت لایه‌ی پیوسته‌ی $TiAl_3$ در اطراف پودر هیدرید تیتانیم، شرایط به‌حالت تعادل سینتیکی رسیده و سرعت برابر با صفر می‌شود (تصویر شکل ۴-ج).

شکل (۴-ج). در بازه‌ی دمایی $750-800^\circ C$ و به دلیل عدم وجود محل‌های مناسب برای ایجاد جوانه‌های اولیه برای حفره‌ها، کانال‌هایی مشابه با آنچه در دماهای نزدیک به $700^\circ C$ و یا حفره‌هایی مشابه با آنچه در دماهای بالاتر از $800^\circ C$ به وجود آمدند، در تصویرهای میکروسکپ الکترونی (تصویر شکل (۴-ب))، ظاهر نشده‌اند.

بر اساس نتایج به‌دست آمده و تحلیل‌های ارائه شده، واکنش‌های فصل مشترک پودر هیدرید تیتانیم با مذاب آلومینیم خالص در بازه‌ی دمایی مختلف را می‌توان به سه دسته تقسیم‌بندی کرده و مدلی مطابق با شکل ۹ برای آن‌ها در نظر گرفت.

حالت اول: بازه‌ی دمایی $700-750^\circ C$. در این شرایط و هنگام تماس پودر هیدرید تیتانیم با مذاب، ابتدا به دلیل واکنش پودر هیدرید تیتانیم با مذاب و تشکیل لایه‌ی نازک $TiAl_3$ در اطراف ذرات پودر (تصویر شکل ۹، الف-۱)، واکنش شیمیایی سازوکار کنترل کننده است. با ادامه‌ی واکنش و در نتیجه‌ی افزایش ضخامت لایه‌ی $TiAl_3$ (تصویر شکل ۹، الف-۲)، سرعت با سازوکار نفوذ درونی کنترل می‌شود. در انتها و با پایان تأثیر ذرات کوچک پودر و یا افزایش ضخامت لایه‌ی $TiAl_3$ برای ذرات بزرگ‌تر پودر، نفوذ اتم‌ها در لایه‌ی $TiAl_3$ بسیار کاهش یافته و شرایط به حالت تعادل سینتیکی می‌رسد و به این ترتیب، سرعت برابر با صفر می‌شود (تصویر شکل ۴-الف).

حالت دوم: بازه‌ی دمایی $750-800^\circ C$. در این شرایط و هنگام تماس پودر هیدرید تیتانیم با مذاب، ابتدا لایه‌ی نازکی از $TiAl_3$ شبیه به حالت اول در اطراف ذرات پودر هیدرید تیتانیم تشکیل می‌شود (تصویر شکل ۹، ب-۱). سرعت در این حالت با واکنش شیمیایی کنترل می‌شود. به دلیل افزایش سرعت واکنش TiH_2 با مذاب و تولید گاز درون توده‌ی پودر، پودر هیدرید تیتانیم به‌حالت نیمه متلاشی شده می‌رسد.



شکل ۹ مدل پیشنهادی برای واکنش‌های فصل مشترک پودر TiH_2 و مذاب آلومینیم در بازه‌های دمایی (الف): $700-750^\circ C$ ، (ب): $750-800^\circ C$ و (ج): $800-1000^\circ C$

اطراف ذرات پودر، فرایند تجزیه با دو عامل هم‌زمان واکنش شیمیایی و نفوذ اتم‌های هیدروژن و آلومینیم درون لایه $TiAl_3$ کنترل می‌شود.

- در بازه‌ی دمایی $800-1000^\circ C$ و به‌دلیل متلاشی شدن لایه‌ی $TiAl_3$ در اطراف ذرات پودر هیدراید تیتانیم، به‌نظر می‌رسد که واکنش شیمیایی عامل اصلی کنترل‌کننده‌ی فرایند تجزیه‌ی پودر هیدراید تیتانیم باشد.

- با افزایش دمای مذاب و متلاشی شدن ذرات پودر و کاهش اندازه‌ی آن‌ها، سرعت واکنش شیمیایی عامل اصلی کنترل‌کننده بود.

نتیجه‌گیری

- واکنش‌های فصل مشترک پودر هیدراید تیتانیم و مذاب آلومینیم خالص پیچیده بوده و در آن‌ها، لایه‌ی $TiAl_3$ در اطراف ذرات پودر تشکیل می‌شود.

- به‌نظر می‌رسد که در بازه‌ی دمایی $700-750^\circ C$ و به‌دلیل تشکیل لایه‌ی تقریباً پیوسته‌ای از $TiAl_3$ در اطراف ذرات پودر، نفوذ اتم‌های آلومینیم و هیدروژن درون لایه‌ی $TiAl_3$ عامل اصلی کنترل‌کننده‌ی فرایند تجزیه‌ی پودر هیدراید تیتانیم باشد.

- به‌نظر می‌رسد که در بازه‌ی دمایی $750-800^\circ C$ و به‌دلیل تشکیل لایه‌ی پیوسته‌ی $TiAl_3$ در فصل مشترک $TiH_2/TiAl_3$ و لایه‌ی $TiAl_3$ حاوی کانال در

مراجع

1. Divandari, M., Vahid gholpayghni, A.R. and Shahverdi, H.R., "Metallic Foams", *Iran university and science technology*, No. 453, Tehran, pp. 24-27, (2006).

2. Baumgärtner, F., Isabel Duarte, I. and Banhart, J., "Industrialization of Powder Compact Foaming Process", *Advanced Engineering Materials*, Vol. 2, No.4, pp. 168-174, (2000).
3. Miyoshi, T., Itoh, M., Akiyama, S. and Kitahara, A., "ALPORAS Aluminum Foam: Production Process, Properties, and Applications", *Advanced Engineering Materials*, Vol. 2, No. 4, pp. 179-183, (2000).
4. Duarte, I. and Banhart, J., "A Study of Aluminum Foam Formation Kinetics and Microstructure", *Acta Materialia*, Vol. 48, pp. 2349-2362, (2000).
5. Banhart, J., "Manufacture, Characterization and Application of Cellular Metals and Metal foams", *Progress in Materials Science*, Vol. 46, pp. 559-632, (2001).
6. Gergely, V., Curran, D.C. and Clyne, T.W., "Advance in The Melt Route Production of Closed Cell Aluminum Foams Using Gas-Generating Agents", Global Symposium on Materials Processing & Manufacturing, Processing & Manufacturing, Processing & Properties of Lightweight Cellular Metals & Structures, TMS ANNUAL MEETING, Seattle, Washington, 17-21 February, (2002).
7. Zeppelin, F. von, Hirscher, M., Stanzick, H. and Banhart, J., "Desorption of hydrogen from blowing agents used for foaming metals", *Composites Science and Technology*, Vol. 63, pp. 2293-2300, (2003).
8. Babcsan, N., Leitmeyer, D., Degischer, H.P. and Banhart, J., "The Role of Oxidation in Blowing Particle-Stabilised Aluminum Foams", *Advanced Engineering Materials*, Vol. 6, No. 6, pp. 421-428, (2004).
۹. رسولی، ع.، دیواندری، م.، شاهوردی، ح.ر. و بوتراپی، م.ع.، "تولید فومهای فلزی به روش ذوبی با استفاده از مواد حباب‌زا"، دومین همایش ملی فن آوریهای بومی ایران، دانشگاه علم و صنعت ایران، ۲۹-۳۰ اردیبهشت ماه (۱۳۸۸).
۱۰. صدرنژاد، خ.، "فرآیندهای سینتیکی در مهندسی مواد و متالورژی"، انتشارات امیرکبیر، تهران، صفحه ۲۹۰، (۱۳۷۲).
11. Padurets, L.N., Dobrokhotova, Zh. V. and Shilov, A.L., "Transformations in titanium dihydride phase", *International Journal of Hydrogen Energy* 13, Vol. 24, pp. 153-156, (1999).
12. Tsuchiya, B., Teshigawara, M., Nagata, S., Konashi, K., Yasuda, R., Nishino, Y., Nakagawa, T. and Yamawaki, M., "Hydrogen analyses of titanium hydride by ERD and NRG Methods", *Nuclear Instruments and Methods in Physics Research B* 190, pp. 699-703, (2002).
13. Bobet, J.L., Even, C. and Quenisset, J.M., "On the production of ultra-fine titanium hydride powder at room temperature", *Journal of Alloys and Compounds*, Vol. 348, pp. 247-251, (2003).
14. Setoyama, D., Matsunaga, J., Ito, M., Muta, H., Kurosaki, K., Uno, M. and Yamanaka, S., "Thermal properties of titanium hydrides", *Journal of Nuclear Materials*, Vol. 344, pp. 298-300, (2005).
15. Gabis, J.E., Voit, A.P., Evard, E.A., Zaika, Yu.V., Chernov, I.A. and Yartys, V.A., "Kineics of Hydrogen Desorption from the Powders of Metals Hydrides", *Jouranl of Alloys and Compounds*, 404-406, pp. 312-316, (2005).

16. Matijasevic-Lux, B., Banhart, J., Fiechter, S., Gorke, O. and Wanderka, N., "Modification of Titanium Hydride for Improved Aluminum Foam Manufacture", *Acta Materialia*, Vol. 54, pp. 1887–1900, (2006).
17. Bhosle, V., Baburaj, E.G., Miranova, M. and Salama, K., "Dehydrogenation of TiH₂", *Materials and Engineering A356*, pp. 190-199, (2003).
18. Yang, D. and Hur, B., "The Relation between Thermal Decomposition Properties of Titanium Hydride and the Al Alloy Melt Foaming Process", *Materials Letters*, Vol. 60, pp. 3635–3641, (2006).
19. Yang, D.H., Hur, B.Y., He, D.P. and Yang, S.R., "Effect of Decomposition Properties of Titanium Hydride on the Foaming Process and Pore Structures of Al Alloy Melt Foam", *Materials Science and Engineering A*, Vol. 445–446, pp. 415–426, (2007).
۲۰. رسولی، ع.، شاهوردی، ح.ر.، دیواندری، م. و بوتراپی، م.ع.، "بررسی تجزیه حرارتی پودر هیدراید تیتانیم (TiH₂) در دماهای بالا"، مجله فنی و مهندسی دانشگاه آزاد مشهد، دوره دوم، شماره اول، صفحه ۱-۱۲، پاییز (۱۳۸۷).
۲۱. رسولی، ع.، شاهوردی، ح.ر.، دیواندری، م. و بوتراپی، م.ع.، "بررسی سینتیکی خروج هیدروژن از پودر هیدراید تیتانیم (TiH₂) در هوا"، دومین کنفرانس ملی ساخت و تولید ایران، دانشگاه آزاد اسلامی واحد نجف آباد، ۷-۸ آبان ماه (۱۳۸۸).
22. Banhart, J., "Metal Foams: Production and Stability", *Advanced Engineering Materials*, Vol. 8, No.9, pp. 781-794, (2006).
23. Metals Handbook, Alloy Phase Diagrams, 10th Edition, Vol. 3, index2, pp. 54, (1992).
24. Haibel, A., Rack, A. and Banhart, J., "Why are Metal Foams Stable?", *Applied Physics Letters*, Vol. 89, 154102, (2006).
25. Frei, J., Gergely, V., Mortensen, A. and Clyne, B., "The Effect of Prior Deformation on the Foaming Behavior of "FORMGRIP" Precursor Material", *Advanced Engineering Materials*, Vol. 4, No. 10, (2002).
26. Mazet, N., "Modeling of Gas–Solid Reaction, 1. NonPorous–Solid", *International Chemical Engineering*, Vol. 32, No. 2, April (1992).
27. Mazet, N., "Modeling of Gas–Solid Reaction, 2. Porous Solid", *International Chemical Engineering*, Vol. 32, No. 3, (1992).
۲۸. رسولی، علی و صدرنژاد، خطیب الاسلام، "شبیه‌سازی سرعت واکنش‌های گاز- جامد (غیر متخلخل) با استفاده از مدل مزت"، مجله دانشکده فنی - دانشگاه تبریز، جلد ۲۹، شماره ۲، صفحه ۳۷-۴۹، پاییز (۱۳۸۱).